

ペアリングに関する最近の研究動向

Recent Research Activities on Pairing

岡本 栄司 Eiji OKAMOTO 岡本 健 Takeshi OKAMOTO
 金山 直樹 Naoki KANAYAMA



1. はじめに — ペアリング登場の背景 —

本稿でいうペアリングとは、2入力1出力関数であって、各入力に対して線形性が成り立つ、いわゆる双線形関数である。具体的なペアリングとしては、入力がだ円曲線上あるいは超だ円曲線上の2点で、出力はある有限体の元であるものが提案されている。

ペアリングと暗号の出会い、1993年のだ円曲線上の離散対数問題解法が最初である⁽¹⁾。これは、いわば暗号の解読に用いられたものである。暗号設計については、2000年にJouxによってDiffie-Hellman公開鍵配送方式が三者に拡張され⁽²⁾、境・大岸・笠原によって、IDに基づく暗号に適用された⁽³⁾。

その後、ペアリングを用いた暗号の研究は増えており、特にペアリングをブラックボックスとして扱い、その双線形性のみを利用した暗号プロトコルの提案が増加している。

一方、ペアリング自体の実装についても積極的に研究が行われるようになってきている。これは、今までペアリング計算処理速度がRSAなどのべき乗剰余演算よりも数倍遅かったためであり、せめて同程度にしなければ利用されないからである。現在、活発な研究によりソフトウェア実装あるいはハードウェア実装において、演算速度も上がってきている。

以上の現状を踏まえ、ここでは、ペアリングそのものを中心に焦点を当てて概説を行い、最後に各種プロトコルに触れる。

2. ペアリングとは

現在暗号で用いられているペアリングはある種のだ円曲線上に定義される関数である。入力はだ円曲線上の2点、出力はある有限体の元である。そこで、まずだ円曲線を簡単に紹介し、その上でペアリングを定義する。

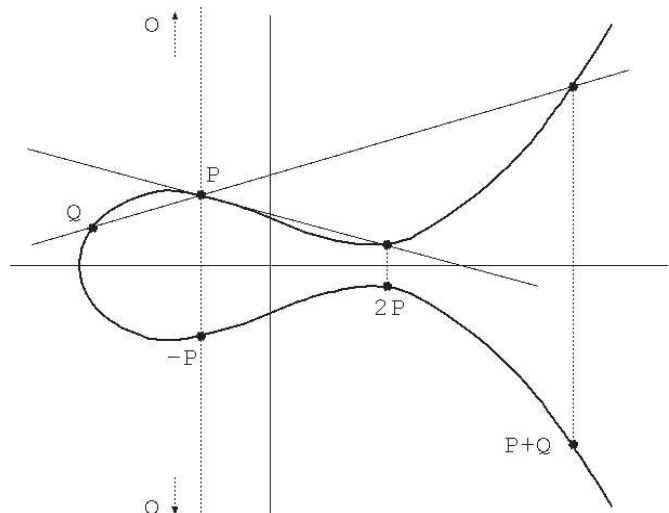


図1 だ円曲線における加算十

2.1 だ円曲線

本文中で扱うだ円曲線は $y^2 = x^3 + ax + b$ を満たす有限体 F_q の元の座標 (x, y) の集合に無限遠点 O を追加した集合 $E(F_q)$ である：

$$E(F_q) = \{(x, y) \in F_q^2 : y^2 = x^3 + ax + b\} \cup \{O\}$$

ただし、曲線は非特異(どの点でも必ず接線が一本だけ引ける)とする。この集合は次に示す演算十により加法群をなす。図1において、 P と Q を通る直線が $y^2 = x^3 + ax + b$ と交わる第3の点の x 軸に関する線対称点が $P+Q$ となる。

$P=Q$ のときは P における接線を用いる。 O が零で、 $-P$ は P の x 軸に関する線対称点となる。すなわち、 $P = (x, y)$ とすると、逆元は $-(x, y) = (x, -y)$ となり、容易に求められる。これは有限体 F_q と大きく異なる点である。

代数的に示せば次のようになる。だ円曲線上の2点 $P = (x_1, y_1)$ 、 $Q = (x_2, y_2)$ に対して、その和 $P+Q = (x_3, y_3)$ を $x_3 = \lambda^2 - x_1 - x_2$ 、 $y_3 = \lambda(x_1 - x_3) - y_1$ で与える。ここで、 λ は直線の傾きで

$$\lambda = \begin{cases} \frac{y_2 - y_1}{x_2 - x_1} & \text{if } P \neq Q \\ \frac{3x_1^2 + a}{2y_1} & \text{if } P = Q \end{cases}$$

岡本 栄司 正員：フェロー 筑波大学大学院システム情報工学研究科
 E-mail okamoto@risk.tsukuba.ac.jp
 岡本 健 正員 筑波大学大学院システム情報工学研究科
 E-mail ken@risk.tsukuba.ac.jp
 金山 直樹 正員 筑波大学大学院システム情報工学研究科リスク工学専攻
 E-mail kanayama@risk.tsukuba.ac.jp
 Eiji OKAMOTO, Fellow (Graduate School of Systems and Information Engineering, University of Tsukuba, Tsukuba-shi, 305-8573 Japan), Takeshi OKAMOTO, and Naoki KANAYAMA, Members (Graduate School of Systems and Information Engineering, University of Tsukuba, Tsukuba-shi, 305-8573 Japan).
 Fundamentals Review Vol.1 No.1 pp.51-60 2007年7月

である。なお、 $x_1 = x_2$ かつ $y_1 \neq y_2$ のときは $P + Q = O$ となる。

2. 2ペアリングの定義

暗号で利用されているペアリングとしてWeilペアリングとTateペアリングがある。Weilペアリングは1946年にWeilによって、整数論の分野において導入されたもので、文献(3)でも用いられた。しかし、Tateによって導入されたTateペアリングの方が計算コストは小さいので、現在ではTateペアリングの方が主流である。以後はTateペアリングに話を限定する。

Tateペアリング e は、整数 r に対して

$$e: E(F_q)[r] \times E(F_{q^k}) / rE(F_{q^k}) \rightarrow \mu_r$$

$$e(P, Q) = f_P(Q)^{\frac{q^k - 1}{r}}$$

で定義される関数である。ここで、

$$E(F_q)[r] = \{P \in E(F_q) \mid rP = O\}$$

$$\mu_r = \{x \in F_{q^k} \mid x^r = 1\}$$

であり、 k は

$$r \mid q^k - 1$$

を満たす最小数で、埋込次数と呼ばれる。

Tateペアリングの定義式における $(q^k - 1)/r$ によるべき乗は、 $f_P(Q)$ における任意性の除去のためである。すなわち、 $f_P(Q)$ の計算結果には係数として F_{q^k} の任意性が残るが $(q^k - 1)/r$ でべき乗することにより1となる。

f_P は x, y の有理関数であるが、それを取り扱うには次の因子の概念を必要とする。

だ円曲線 $E(F_q)$ 上の因子とは、曲線の点の整数係数形式和

$$D = \sum_{A \in E(F_q)} a_A(A)$$

であり、その集合に和

$$\left(\sum_{A \in E(F_q)} a_A(A) \right) + \left(\sum_{A \in E(F_q)} b_A(A) \right) := \sum_{A \in E(F_q)} (a_A + b_A)(A)$$

を定義して得られる群を因子群 $Div(E)$ という。ここで、因子上の二つの写像 $\deg(D)$ と $sum(D)$ を

$$\deg(D) = \sum_i a_i \in Z$$

$$sum(D) = \sum_i a_i A_i \in E(F_q)$$

で定義する。また零因子群を

$$Div_0(E) = \{D \mid sum(D) = O\}$$

で定義する。

一方、 x, y に関する有理関数 f に対して、因子が次のように定義でき、これを主因子という。

$$div(f) = \sum_{A \in E(F_q)} ord_A(f)(A)$$

ここで、 $ord_A(f)$ は A における f と E の多重度で、 A における f の位数と呼ばれる。例えば、 f の零点 $A (\neq O)$ に対しては

$$ord_A(f) = \begin{cases} 1; & f = 0 \text{ と } E \text{ が交差} \\ 2; & f = 0 \text{ が } E \text{ に接し } 3A \neq O \\ 3; & f = 0 \text{ が } E \text{ に接し } 3A = O \end{cases}$$

となる。 f の極 $A (\neq O)$ に対しては

$$ord_A(f) = -ord_A(f^{-1})$$

O に対しては

$$ord_O(x) = -2$$

$$ord_O(y) = -3$$

となる⁽⁴⁾。

例えば、直線 l がだ円曲線 E において P, Q, R で交差する場合、 P, Q, R における位数が1、 O における位数が-3なので、

$$div(l) = (P) + (Q) + (R) - 3(O)$$

となる。なお、和の定義から $R = -(P + Q)$ である。また、 $P = (x_1, y_1)$ とその逆元 $-P = (x_1, -y_1)$ は直線 $x - x_1 = 0$ の点であることより

$$Div(x - x_1) = (P) + (-P) - 2(O)$$

と表せる。

このとき、零因子群について次の重要な性質が成り立つ。性質 $Div_0(E)$ において、

$$\deg(D) = 0 \Leftrightarrow \exists f; div(f) = D$$

位数 r の点 P についての因子 $(D) = r(P) - r(O)$ は上記性質の条件を満たすので、

$$\text{div}(f_P) = r(P) - r(O)$$

となる有理関数 f_P が存在する。この f_P を用いてペアリングが定義されている。

この f_P の具体的な計算法は4.に示すが、 $\log r$ の多項式時間で計算できる。だが、すべてのだ円曲線に対してペアリングが効率的に計算できるわけではないことに注意する必要がある。多くのだ円曲線は一般に埋込次数 k が大きい値をとる(文献(5)を参照)ため、大きなサイズの体の中で計算しなければならないからである。効率的に計算できるだ円曲線の代表例は超特異曲線であるが、そのほかにも幾つかある。超特異曲線の場合、 $q=p$ (2, 3以外の素数)なら $k=2$ であり、 $q=2^m$ なら $k=4$ 、 $q=3^m$ なら $k=6$ である。これらの値はペアリングの実装上、重要なパラメータとなる。以下、ペアリングが効率的に計算できるだ円曲線に限定して話を進める。

2.3 ペアリングの性質

ペアリングには次の性質がある。証明については紙面の制約のため割愛するが、例えば文献(4)を参考にされたい。

(1) 非縮退性

任意の P (または Q)に対して $e(P, Q) = 1$ ならば $Q = O$ (または $P = O$)

(2) 双線形性

$$e(P_1 + P_2, Q) = e(P_1, Q) e(P_2, Q)$$

$$e(P, Q_1 + Q_2) = e(P, Q_1) e(P, Q_2)$$

(3) 計算可能性

多項式時間で計算可能

これらの性質の中で、他の暗号プリミティブにない重要な性質は双線形性である。この性質により、例えば、

$$e(aP, bQ) = e(P, Q)^{ab} = e(bP, aQ)$$

という等式が成り立ち、暗号プロトコルとして大いに力を発揮する。

2.4 ペアリングの安全性

ペアリングの安全性には幾つかの定式化があるが、ここでは代表例を示す。ペアリングを用いたプロトコルはこれらの安全性の仮定が成り立つとして組み立てている。まず、ペアリングを用いたプロトコルで用いられる安全性根拠となる各種の問題を示す。

双線形計算DH問題[BCDH]

だ円曲線上で、与えられた入力組 (P, aP, bP, cP) に対して $e(P, P)^{abc}$ を出力すること。

双線形判定DH問題[BDDH]

だ円曲線上で、与えられた入力組 (P, aP, bP, cP, T) に対して $T = e(P, P)^{abc}$ か否かを判定すること。

これらは有限体上における次の問題のペアリング版であ

る。

計算DH問題[CDH]

有限体上で、与えられた入力組 (g, g^a, g^b) に対して g^{ab} を出力すること。

判定DH問題[DDH]

与えられた入力組 (g, g^a, g^b, T) に対して $T = g^{ab}$ か否かを判定すること。

なお、多くの暗号の安全性の基礎となっているのは次の有限体上の離散対数問題である。

離散対数問題[DL]

与えられた入力組 (g, g^a) に対して a を出力すること。

これらの問題の困難さには依存関係があり、帰着関係と呼ばれる。

- ・ 離散対数問題が解ければ計算DH問題が解ける。
- ・ 計算DH問題が解ければ判定DH問題が解ける。
- ・ 判定DH問題が解ければ双線形判定DH問題が解ける。
- ・ 双線形計算DH問題が解ければ双線形判定DH問題が解ける。

すなわち、この中では双線形判定DH問題が相対的に他の問題より易しい(または同程度に難しい)。帰着関係で言えば

双線形判定DH問題→判定DH問題→計算DH問題→離散対数問題

また、

双線形判定DH問題→双線形計算DH問題→離散対数問題となる。ここで、問題A, Bに対して、 $A \rightarrow B$ とは「AはBに帰着する」ことを意味する。

暗号プロトコルの設計に際してはこれらの問題がすべて困難であるとしている。実際、これまでに効率良く解くアルゴリズムは報告されていない。

3. ペアリングの計算法

3.1 ペアリング計算の基本アルゴリズム

ペアリングの計算は、定義式

$$e(P, Q) = f_P(Q)^{\frac{q^t-1}{r}}$$

から分かるように、次の条件を満たす有理関数 f_P の計算に帰着される。

$$\text{div}(f_P) = r(P) - r(O)$$

さて、 f_h を

$$\text{div}(f_h) = h(P) - (hP) - (h-1)(O)$$

を満たす有理関数とし、これを用いて再帰的に $f_P = f_r$ を求める方法を示す。基本となる公式は

$$\operatorname{div}(f_{i+j}) - \operatorname{div}(f_i) - \operatorname{div}(f_j) = \operatorname{div}\left(\frac{l_{iP,jP}}{v_{(i+j)P}}\right)$$

である。これは次のようにして示される。 iP と jP を通る直線を $l_{iP,jP}$ とし、 $(i+j)P$ を通る垂線を $v_{(i+j)P}$ とすると、直線の主因子の公式

$$\operatorname{div}(l_{R,S}) = (R) + (S) + (- (R+S)) - 3(O)$$

より、

$$\begin{aligned} \operatorname{div}\left(\frac{l_{iP,jP}}{v_{(i+j)P}}\right) &= \operatorname{div}(l_{iP,jP}) - \operatorname{div}(v_{(i+j)P}) \\ &= \{(iP) + (jP) + (- (i+j)P) - 3(O)\} \\ &\quad - \{(i+j)P + (- (i+j)P) - 2(O)\} \\ &= (iP) + (jP) - (i+j)P - (O) \end{aligned}$$

となる。一方 f_i の定義から

$$\begin{aligned} \operatorname{div}(f_{i+j}) - \operatorname{div}(f_i) - \operatorname{div}(f_j) &= \{(i+j)P\} - \{(i+j)P\} - \{(i+j-1)O\} \\ &\quad - \{iP\} - \{(i-1)O\} - \{jP\} - \{(j-1)O\} \\ &= (iP) + (jP) - (i+j)P - (O) \end{aligned}$$

が得られ、両者は等しくなる。

したがって、

$$\operatorname{div}(f_{i+j}) = \operatorname{div}(f_i) + \operatorname{div}(f_j) + \operatorname{div}\left(\frac{l_{iP,jP}}{v_{(i+j)P}}\right) = \operatorname{div}(f_i f_j \frac{l_{iP,jP}}{v_{(i+j)P}})$$

より、再帰的公式

$$f_{i+j} = f_i f_j \frac{l_{iP,jP}}{v_{(i+j)P}}$$

が得られた。これをもとにして、 $f_P = f_r$ を求める。なお、上記再帰的公式は正確には定数倍の任意さがあるが、Tateペアリングにおける最終べき乗で消えるので、省略してよい。

Miller アルゴリズム

$e(P, Q)$ の計算

$$r = (r_{t-1}, \dots, r_0)_2, f = 1, V = P$$

for $i = t-1$ to 0 do

$$f = f^2 \frac{l_{V,V}(Q)}{v_{2V}(Q)} \text{ and } V = 2V$$

$$\text{if } r_i = 1 \text{ then } f = f \frac{l_{V,P}(Q)}{v_{V+P}(Q)} \text{ and } V = V + P$$

end for

$$\text{return } f^{\frac{q^k-1}{r}}$$

ここで、 $r = (r_{t-1}, \dots, r_0)_2$ は r の 2 進展開を表している。

3.2 実装上の留意点

実装上、考慮する点が幾つかある。

(1) 曲線の選び方

ペアリング計算に使いやすいだ円曲線として超特異曲線が挙げられる。この場合、曲線の群位数は簡単に求められる。例えば、

$q = p$ のときは、 $y^2 = x^3 + 1$ (ただし $p \equiv 2 \pmod{3}$) や $y^2 = x^3 + x$ (ただし $p \equiv 3 \pmod{4}$) が超特異曲線で、 $|E(F_q)| = p + 1$

$q = 2^m$ のときは、 $y^2 + y = x^3 + x$ や $y^2 + y = x^3 + x + 1$ が超特異曲線で、 $|E(F_q)| = 2^m + 1 \pm 2^{\frac{m+1}{2}}$

$q = 3^m$ のときは、 $y^2 = x^3 - x \pm 1$ が超特異曲線で、

$$|E(F_q)| = 3^m + 1 \pm 3^{\frac{m+1}{2}}$$

である。超特異曲線でない例としては、MNT曲線がよく知られている⁽⁶⁾。更に、通常の曲線を使う方法も提案されている⁽⁷⁾。

(2) $E(F_q)[r]$ における点 P の求め方

ここでは $q = p$ の場合を示す。このとき、 P は $E(F_q)$ 上の任意の点 R に対し $P = ((p+1)/r)R$ で求められる。なぜなら、 $|E(F_q)| = p + 1$ より $rP = (p+1)R = O$ だからである。 r は定義より $r \mid p^2 - 1$ を満たし $r \mid p - 1$ は満たさない、 $r \mid p + 1$ であることに注意する。ただし、 $P = O$ のときは使えないので R を選び直す必要がある。なお、 r が素数ならば r は P の位数にもなっている。

(3) 点 Q の選び方

P は $E(F_q)$ から選ぶが、 Q は $E(F_q)$ でなく $E(F_{q^2})$ から選ぶなくてはならない。そうしなければ、 $e(P, Q)$ が F_q に属し、 $(q^2 - 1)/r = \{(p+1)/r\}(q-1)$ で最終べき乗すると消えてしまう。

このための最も簡単な方法は Distortion 写像 φ を使う方法である。例えば、 $q = p \equiv 3 \pmod{4}$ の場合

$$\varphi(x, y) = (-x, \sigma y)$$

はだ円曲線 $y^2 = x^3 + x$ 上の同形写像であり、 $E(F_q)$ の点をその外へ写像する。ここで、 σ は $F_{q^2} - F_q$ の元である。

$p \equiv 3 \pmod{4}$ ならば -1 は非平方数であるので $\sigma^2 + 1 = 0$ となる σ とすればよい。標数 2 や 3 の拡大体でもこのような写像が存在する。

このとき、 $E(F_q)$ の点 Q に対する $\varphi(Q)$ を改めて Q として用いればよい。

3.3 ペアリング計算の高速化

(1) Miller アルゴリズムの単純化

Miller アルゴリズムに現れる分母は x 座標しか現れない。上記の場合は

$$\varphi(x, y) = (-x, \sigma y)$$

の形の写像を用いるが、そのとき分母には σ が現れない。したがって最終べき乗の中の $(p-1)$ により、分母はすべて消えてしまう。このことから、この場合の Miller アルゴリズムは単純化できる。

単純化 Miller アルゴリズム

$e(P, Q)$ の計算

```

r = (r_{t-1}, ..., r_0)_2, f = 1, V = P
for i = t-1 to 0 do
  f = f^2 · I_{V,V}(φ(Q)) and V = 2V
  if r_i = 1 then f = f · I_{V,P}(φ(Q)) and V = V + P
end for
return f^{q^k - 1 / r}

```

このほかにも幾つかの細かな改良手法があり、これらを合わせると、計算処理速度は約1けた上がる⁽⁸⁾。

(2) $E(F_{3^m})$ における高速化手法と η_T ペアリング

標数3に限ると、高速処理上有利となる性質が幾つか知られている。対象とするだ円曲線は超特異曲線 $y^2 = x^3 - x + b$, $b = \pm 1$ とする。

・3倍点 $Q = 3P$ の計算が容易となる。

$$3(x, y) = (x^9 - b, -y^9)$$

- ・ r の3進数表現 $r = (r_{t-1}, \dots, r_0)_3$ において $r_i = 0, \pm 1$ とでき、2を用いるよりアルゴリズムが単純化できる。これは点の逆元を利用できることに起因する。
- ・ 有理関数 f_i を求める再帰式は、3進展開では

$$f_{3j} = f_j^3 \frac{I_{jP, 2jP}}{V_{3jP}} \cdot \frac{I_{jP, jP}}{V_{2jP}}$$

となるが、そこに現れる4直線の組合せ有理関数の代わりに、 $h_V = \beta^3 y - (\alpha^3 - x + b)^2$ の形の二次曲線が使える⁽⁹⁾。

・ r よりも小さい T に関して、 $\eta_T(P, Q) = f_T(P, \varphi(Q))$ で定義される η_T は双線形性を持ち、Tate ペアリングとの間には次の関係が成り立つ。

$$\begin{aligned}
(\eta_T(P, Q))^M &= e(P, \varphi(Q))^L \\
T &= -b3^{(m+1)/2} - 1, L = -b3^{(m+3)/2} \\
M &= (3^{6m} - 1)/(3^m + b3^{(m+1)/2} + 1)
\end{aligned}$$

これを η_T ペアリングという。 T の長さは m の約半分なので、再帰回数を半減できる⁽¹⁰⁾。したがって、Tate ペアリングでなくこの η_T ペアリングを求めることが多くなってきている。なお、 η_T ペアリングは標数3以外にも提案されている。

標数3におけるこれらの性質を利用した η_T ペアリング計算法が次のアルゴリズムである。ここには、Distortion 写像も含まれている。

η_T ペアリングアルゴリズム

$\eta_T(P, Q)$ の計算

```

P = (x_p, y_p), Q = (x_q, y_q)
if b = 1 then y_p ← -y_p
f ← σy_q + y_p(ρ - x_p - x_q - 1)
for j ← 0 to (m-1)/2 do
  u ← x_p + x_q + b
  g ← σy_p y_q - u^2 - ρu - ρ^2
  f ← fg
  x_p ← x_p^{1/3}, y_p ← y_p^{1/3}
  x_q ← x_q^3, y_q ← y_q^3
end for
return f

```

ここで σ, ρ は $\sigma^2 + 1 = 1, \rho^3 - \rho - b = 0$ を満たす六次拡大体の元である。 m が6と互いに素ならばこれらを添加することにより拡大できる。

もし Tate ペアリング $e(P, \varphi(Q))$ が必要ならば上記の関係式 $(\eta_T(P, Q))^M = e(P, \varphi(Q))^L$ から求めればよい。三乗根は多項式計算量で求められる。

η_T ペアリングアルゴリズムには三乗根演算があるが、その計算はそれほど困難ではないにしても、三乗に比べればやはり多い。そこで、上記アルゴリズムで三乗根演算を取り除いたアルゴリズムが提案されている⁽¹¹⁾。基本的アイデアは、 η_T ペアリングアルゴリズムの中のループの途中に、新たに三乗操作を導入することにより三乗根演算を除去することにある。

表1 Optimized (Twisted) Ate ペアリング性能評価

| パラメータ | ペアリング | 演算時間(ms) | |
|--|-------------|----------|-----------|
| | | Standard | Optimized |
| $k = 6, \log_2 q \sim 512, \log_2 r \sim 256$ MOV security ~ 3072 | Tate | 38.2 | |
| | Twisted Ate | 38.9 | 19.3 |
| $k = 8, \log_2 q \sim 384, \log_2 r \sim 256$ MOV security ~ 3072 | Tate | 64.1 | |
| | Twisted Ate | 96.8 | 48.2 |
| $k = 12, \log_2 q \sim 256, \log_2 r \sim 256$ MOV security ~ 3072 | Tate | 84.8 | |
| | Twisted Ate | 84.1 | 59.1 |

改良 η_T ペアリングアルゴリズム

$\eta_T(P, Q)^{3^{(m+1)/2}}$ の計算
 if $b = 1$ then $y_p \leftarrow -y_p$
 $u \leftarrow x_p + x_q + b$
 $d \leftarrow b$
 $f \leftarrow \sigma y_q - u y_p + \rho y_p$
 for $j \leftarrow 0$ to $(m-1)/2$ do
 $u \leftarrow x_p + x_q + d$
 $g \leftarrow \sigma y_p y_q - u^2 - \rho u - \rho^2$
 $f \leftarrow (fg)^3$
 $y_p \leftarrow -y_p$
 $x_q \leftarrow x_q^9, y_q \leftarrow y_q^9$
 $d \leftarrow d - b \bmod 3$
 end for
 return f

この出力 $\eta_T(P, Q)^{3^{(m+1)/2}}$ から $\eta_T(P, Q)$ を求めるのは容易である。これは F_{36m} においては、3 のべき乗根をわずかな加減算のみで計算できるからである⁽¹¹⁾。

(3) Ate ペアリング / Twisted Ate ペアリングとその高速化

Tate ペアリングでは

$$e: E(F_q)[r] \times E(F_{q^k}) / rE(F_{q^k}) \rightarrow \mu_r$$

$$e(P, Q) = f_{r,P}(Q)^{\frac{q^k-1}{r}}$$

から分かるように、 P と Q の定義体が異なる。この2点を入れ替えた形の $f_{T,Q}(P)$ をもとにした

$$a_T(Q, P) = f_{T,Q}(P)^{c_T(q^k-1)/N}$$

もまた双線形性を持つことが示される。ここで、 $T = t - 1$ (t はトレース $q + 1 - |E(F_q)|$)、 $N = \gcd(T^k - 1, q^k - 1)$ 、 $c_T = \sum_{i=0}^{k-1} T^{k-i-1} q^i$ である。この $a_T(Q, P)$ は Ate ペアリングとよ

ばれる。この命名は η のスペルを逆読みしたことによるものである。

一般にトレース t のサイズは q のサイズの半分になるので、 $r \approx q$ なら Tate ペアリング (Miller アルゴリズム) のループ回数を半減できる。

また、だ円曲線における Twist という写像を用いることにより、Ate ペアリングの定義域の順序を元に戻した Twisted Ate ペアリングも定義でき、 k の約数 e が $-r \leq T^e \leq r$ を満たせばループ回数は Tate ペアリングに比較して削減できる。ここで $e = k / \text{GCD}(k, \#Aut(E))$ である $\#Aut(E)$ は E 上の自己同形写像の個数⁽⁷⁾。

この Ate ペアリングと Twisted Ate ペアリングに対して、ループ回数を更に減らし、Twisted Ate ペアリングにおける $-r \leq T^e \leq r$ という条件を外すことにより、適用可能な曲線を大幅に増やすことが可能である⁽¹²⁾。

Ate ペアリングに対していえば、

$$a_S(Q, P) = f_{S,Q}(P)^{c_S(q^k-1)/N}$$

で定義される関数は双線形性を満たす。これを Optimized Ate ペアリングと言う。ここで、 $S = q \bmod r$ 、 $N = \gcd(S^k - 1, q^k - 1)$ 、 $c_T = \sum_{i=0}^{k-1} S^{k-i-1} q^i$ である。 S を適切に選ぶことにより、ループ回数を半減でき、実際、実装した結果表 1 にもそれが現れている。なお、パラメータの設定上、拡大体のサイズを 3072 ビットとしている。

同様の手法は Twisted Ate ペアリングを改良した Optimized Twisted Ate ペアリングにも適用できる。 $|T^e| \geq r$ の場合は整数 n を用いて $|S| \leq r$ となるように $S = T^e - n \cdot r$ をとり、この S に対して改めて Twisted Ate ペアリングを考えればよい。しかし、最後のべき乗のべき指数は変化する (詳細は文献 (12) 参照)。

4. ペアリング実装例と計算ツール

最近、 η_T ペアリングの実装をソフトウェアとハードウェア

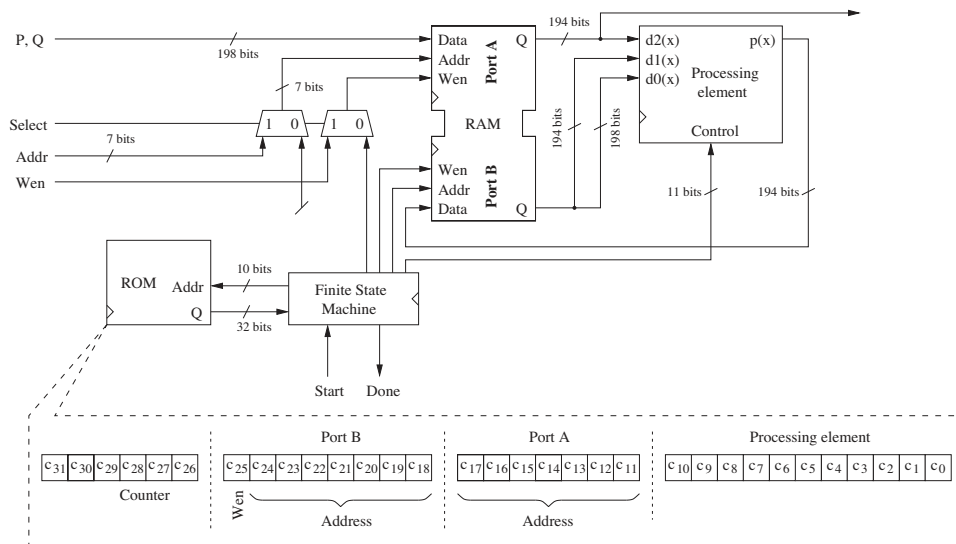


図2 改良 η_T ペアリング計算回路

それぞれについて行ったので、紹介する。

4.1 ソフトウェア実装

我々は、科学技術振興調整費・重要課題解決型研究の推進“セキュリティ情報の分析と共有システムの開発”において、 η_T ペアリングのライブラリとAPI設計を行い、WindowsやUnix環境上で実装した⁽¹³⁾。ライブラリは下記のサイトに公開している。

http://www.cipher.risk.tsukuba.ac.jp/pairing_lib/

ライブラリの実装に当たっては、体演算ライブラリ、だ円曲線ライブラリ、ペアリングライブラリをそれぞれ実装した。ペアリングを実装する場合は、最も下位層に有限体(拡大体)ライブラリを実装しなくてはならない。ペアリングやだ円曲線演算の構成法は、大きな素数を標数とする体(以下、標数 p)を利用するか、標数が小さな(例えば、標数が2や3など)体の拡大体を利用するかによって大きく異なる。我々は、安全性、性能などを考慮して、標数 p 及び標数3の体演算ライブラリを実装し、その上で動作するだ円曲線ライブラリ、及びペアリングライブラリを実装した。拡大体の次数も選べるようになっている。

計算例を挙げると、計算環境

OS: Red Hat Linux 9

CPU: Pentium 4 3.4GHz

メモリ: 1GByte

のもとでの1回の処理時間は、

$$\eta_T: E(F_{3^{97}}) \times E(F_{3^{6 \cdot 97}}) \rightarrow F_{3^{6 \cdot 97}} \quad 4.32\text{ms}$$

であった。ちなみに、同環境で

$$E(F_{3^{97}}) \text{ 上スカラ倍} \quad 1.31\text{ms}$$

$$1024 \text{ ビットべき乗剰余演算} \quad 8.69\text{ms}$$

であるので、かなり実用的な計算処理速度が得られている。

なお、当サイトでは、公開文献(14)に記載のグループ署名方式も同時に実装し、公開している。

4.2 ハードウェア実装

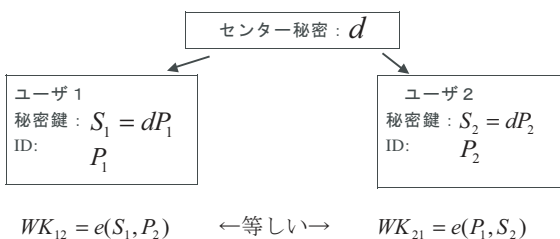


図3 IBE

η_T ペアリング(改良形を含む)のハードウェア実装は、新エネルギー・産業技術総合開発機構(NEDO)半導体アプリケーションチッププロジェクト、“Pairing Liteの研究開発”で進めており、標数3で m が97のケースをFPGA(Field Programmable Gate Array)に実装済みである。

プロセッサを9個持つタイプと、1個のみを持つタイプの2種類で実現している。プロセッサは乗算、加減算、3乗算、累算を一つで行えるものを2676 LE (Logic Element) で構成しており、ほぼ最小に近い形である。

マルチプロセッサタイプ

Cyclone II EP2C35

9プロセッサ

18,000 スライス

クロック周波数 147MHz

計算時間 27 μ s

シングルプロセッサタイプ

Vertex- II Pro4

1プロセッサ

1,888 スライス

クロック周波数 147MHz

計算時間 222 μ s

これらを比較すると、当然マルチプロセッサタイプが高速であるが、シングルプロセッサタイプは論理回路素子が非常に少ないので、応用上はシングルプロセッサタイプが好まれる可能性がある。その回路ブロック図を図2に示す⁽¹⁵⁾。

5. ペアリングの優位性を利用したプロトコル

ペアリングの持つ双線形性ゆえに、多くの暗号プロトコルが提案されている。ここでは、年代順に代表的な適用例を簡単に示そう。

5.1 MOV帰着⁽¹⁾

有限体上の離散対数問題DLについては、現時点の最良解法アルゴリズムは準指数的計算量であるが、だ円曲線上では指数的計算量アルゴリズムしか知られていない。ここに、ペアリングを持つだ円曲線上では有限体に射影することにより準指数的計算量に変換するのが、MOV帰着である。

ペアリングを持つだ円曲線上の離散対数問題(Bilinear Elliptic Curve Discrete Logarithm Problem)が次のように与えられたとする。

BECDLP: 与えられた入力組 (P, aP) に対して a を出力すること。

ここで、MOV帰着

$$g = e(P, P)$$

$$e(P, aP) = e(P, P)^a = g^a$$

を用いると、与えられた入力組 (g, g^a) に対して a を出力する、というように有限体上の離散対数問題に変換することができる。

有限体上の離散対数問題は準指数計算量で解けるので計算量は少なくなると期待できる。ただし、有限体といってもだ円曲線の基礎となる体 F_q ではなく、その k 次拡大体 F_{q^k} であることに注意する必要がある。したがって、 k が余り大きいと、準指数計算量といっても F_q 上の指数的計算量より多くなる。

5.2 三者間公開鍵配送⁽²⁾

Diffie と Hellman によって提案されたいわゆる DH 公開鍵配送方式は二者間の鍵配送方式である。それが 2000 年に Joux によって、ペアリングを用いることにより三者間に広げられた。

三人のユーザを A, B, C とする。各々の秘密鍵と公開鍵のペアを、 (a, P_A) , (b, P_B) , (c, P_C) とする。ここで、秘密鍵と公開鍵の間には次のような関係がある。

$$P_x = xP$$

P はだ円曲線上のある固定点である。

このとき、この三者間での共有鍵は次のようにして得ることができる。

$$\text{ユーザ A : } WK_A = e(P_B, P_C)^a$$

$$\text{ユーザ B : } WK_B = e(P_C, P_A)^b$$

$$\text{ユーザ C : } WK_C = e(P_A, P_B)^c$$

これらがすべて $e(P, P)^{abc}$ に等しいことは、ペアリングの双線形性から明らかである。この安全性は双線形計算 DH 問題 [BCDH] の困難さによる。

5.3 ID に基づく暗号

ID に基づく暗号 (IBE) は 1980 年代に定式化され研究も行われた。しかし、予備通信が必要であったり、安全性上のしきい値があったりして、必ずしも満足のいくものではなかった。これらの問題は 2000 年になってペアリングの双線形性を利用することにより、境・大岸・笠原らによって解決された⁽³⁾。

IBE の基本となっている鍵配送方式を図 3 に示す。

鍵を共有するユーザ 1, 2 のほかに、信頼できるセンター C が必要となる。

センター C は秘密情報 d を持ち、ユーザ i は ID 情報に対応しただ円曲線上の点 P_i を持っている。ID 情報はユーザを特定する情報ならば何でもよく、例えばメールアドレスなどがよく用いられる。ID 情報からだ円曲線上の点への対応は

MapToPoint と呼ばれるが、公開写像で簡単に計算できるので、ここでは P_i 自身を ID とみなす。

ユーザ i は秘密鍵としてあらかじめセンターから

$$S_i = dP_i$$

を秘密に受け取っている。

さて、実際の鍵配送時には各ユーザは次のようにして共有鍵を計算する。

$$\text{ユーザ 1 : } WK_{12} = e(S_1, P_2)$$

$$\text{ユーザ 2 : } WK_{21} = e(P_1, S_2)$$

これらはペアリングの双線形性により等しい：

$$e(dP_1, P_2) = e(P_1, P_2)^d = e(P_1, dP_2)$$

なお、ここではベースになる方式を示したが、次のようにすることもできる。例えばユーザ 1 がユーザ 2 のメールアドレスで鍵を作成し、それでメールを暗号化してユーザ 2 に送ったとしよう。そのとき、ユーザ 2 はそのメールを受け取ってからセンターに秘密鍵を問い合わせる。このようにするとあらかじめユーザ 2 は秘密鍵をもらっておく必要はなくなる。

これらの方式では予備通信は不要であり、また結託攻撃により生じるしきい値も事実上存在しないため、従来の IBE の課題を解決している。安全性についての根拠は明確には示されていないが、Boneh・Franklin は 2001 年に安全性が双線形計算 DH 問題 [BCDH] に依存する方式を与えた⁽¹⁶⁾。IBE という、こちらの暗号方式を指す場合が多く、これをもってペアリングを用いた ID ベース暗号は Boneh・Franklin によって最初に提案されたといわれることが多いが、正しい記述とは言えない。

5.4 ショート署名

ペアリングを用いることにより署名長を従来より短くできる方式が幾つか提案されている。ここでは Boneh・Lynn・Shacham による方式を紹介する⁽¹⁷⁾。

本方式ではセンターは必要ない。署名生成者はだ円曲線上の点 P を定め、整数 s をランダムに生成して $P, V = sP$ を公開する。

メッセージ m の署名は

$$Q_m = sH(m)$$

となる。ここで H は MapToPoint である。

検証は

$$e(V, H(m)) \stackrel{?}{=} e(P, Q_m)$$

が成立するか否かで行われる。双線形性より、正しいメッセージと署名に対してはこの等式は成立する。

署名 Q_m はだ円曲線上の点であり、ビット長は $|q|$ と同程度の長さである。

安全性について、 H が理想的なランダム関数であり、かつ双線形計算DH問題[BCDH]の困難性を仮定すれば、この方式は高い安全性を持つことが証明できる⁽¹⁷⁾。

5.5 放送暗号

ペアリングを用いることにより、番組放送用のスクランブル鍵を効率的に配送できることを示す。すなわち、あらかじめ全加入端末に個別鍵をセットしておき、ある番組放送に際して鍵配送センターは希望視聴者のみに個別鍵で当該番組のスクランブル鍵を暗号化して配送する。

この場合、全体では希望視聴者数に比例した帯域が必要となるのが常識である。ところが Boneh・Gentry・Waters が示した方式⁽¹⁸⁾によると、加入者数にかかわらず一定のビット長で鍵を配送できる。希望視聴者をユーザ1からユーザ n とする。

[セットアップ]

鍵配送センターはだ円曲線上の点 P を定め、ランダムな整数 α, γ を生成し、 $P, P_1, P_2, \dots, P_n, P_{n+2}, \dots, P_{2n}, Q$ を公開する。ここで、 $P_i = \alpha^i P, Q = \gamma P$ である。

ユーザ i の秘密鍵は $D_i = \gamma P_i$ である。

[暗号化]

センターは乱数 t を生成し、

$$C_0 = tP$$

$$C_1 = t(Q + \sum_{j \in S} P_{n+1-j})$$

を全ユーザに送る。ここで、 S は復号を許可するユーザの集合を表す。

このとき、暗号化に用いる鍵は

$$K = e(P_{n+1}, P)^t$$

となる。

[復号化]

ユーザ $i \in S$ は (C_0, C_1) を受け取り、

$$K = \frac{e(P_i, C_1)}{e(D_i + \sum_{j \in S, j \neq i} P_{n+1-j}, C_0)}$$

より、鍵を求める。送受信側で鍵が一致することは、ペアリングの双線形性から明らかである。

同報通信されるデータ (C_0, C_1) のビット長は n や復号を許可した人数にかかわらず、一定であることに注意されたい。

安全性は、双線形計算DH問題[BCDH]に派生して生じた

いわゆる ℓ -BDHE問題に基づく。これは $(Q, P, \alpha P, \alpha^2 P, \dots, \alpha^{\ell} P, \alpha^{\ell+2} P, \dots, \alpha^{2\ell} P)$ から $e(P, Q)^{\alpha^{\ell+1}}$ を求める問題であり、この問題の困難性を仮定すれば、この方式は高い安全性を持つことが証明できる⁽¹⁸⁾。

6. あとがき

ペアリングに関して、基礎から実装、応用にわたる解説を試みた。ペアリングについては、まとまった一般向け解説が少なく、特に計算法や実装についての解説が少ないと思われるので、そこを重点的に解説したつもりである。なお、プロトコルについては紙面の関係もあり、簡単に触れるだけとし、特に安全性における攻撃と解読の定義については省略した。これらについては文献(19)などを参照するとよい。

ペアリングに基づいた暗号を研究している我々としては、今後更にペアリングの研究が進み、利用・普及も促進されることを期待する。

最後に、本解説に載せた幾つかの成果は我々の共同研究から生まれたことを付け加えておく。ここに、公立はこだて未来大学の 高木 剛先生、白勢政明氏、情報セキュリティ大学院大学の 土井 洋先生、NEC の 側高幸治氏、筑波大学の Jean-Luc Beuchat 氏、松田誠一氏(現ソニー)に深謝する。

文 献

- (1) A. Menezes, T. Okamoto, and S. Vanstone, "Reducing elliptic curve logarithms to logarithms in a finite field," IEEE Trans. Inf. Theory, vol.39, pp.1639-1646, 1993.
- (2) A. Joux, "A one round protocol for tripartite Diffie-Hellman," Proc. of Algorithmic Number Theory Symposium IV, Lect. Notes Comput. Sci., vol.1838, pp.385-294, 2000.
- (3) R. Sakai, K. Ohgishi, and M. Kasahara, "Cryptosystems based on pairing," Proc. of SCIS2000, 2000.
- (4) L. C. Washington., Elliptic curves: Number Theory and Cryptography, Discrete Mathematics and its Applications (Boca Raton), Chapman & Hall/CRC, Boca Raton, FL, 2003.
- (5) R. Balasubramanian and N. Koblitz, "The Improbability that an elliptic curve has subexponential log problem under the Menezes-Okamoto-Vanstone algorithm," J. Cryptol., vol.11, pp.141-145, 1998.
- (6) A. Miyaji, M. Nakabayashi, and S. Takano, "New explicit conditions of elliptic curve traces for FR-Reduction," IEICE Trans. Fundamentals, vol. E84-A, no.5, pp. 1234-1243, May 2001.
- (7) F. Hess, N.P. Smart, and F. Vercauteren, "The eta pairing revisited," IEEE Trans. Inf. Theory, vol.52, no.10, pp.4595-4602, Oct. 2006.
- (8) S. Matsuda, A. Inomata, T. Okamoto, and E. Okamoto, "Performance evaluation of efficient algorithms for Tate pairing," Proc. of PacRim2005, 2005.
- (9) I. Duursma and H. S. Lee, "Tate pairing implementation for hyperelliptic curves $y^2=px+d$," ASIACRYPT 2003, Lect. Notes Comput. Sci., vol. 2894, pp.111-123, 2003.
- (10) P. S. L. M. Barreto, S. Galbraith, C. O. hEigertaigh, and M. Scott, "Efficient pairing computation on supersingular abelian varieties," To appear in Designs, Codes and Cryptography.
- (11) 白勢政明, 高木 剛, 岡本栄司, "ペアリングの最終べきについて," 信学技報, ISEC2006-98, pp.19-26, Nov. 2006.
- (12) 松田誠一, 金山直樹, 岡本 健, 岡本栄司, "Twisted Ate ペアリングの高速化手法の提案," 信学技報, ISEC2006-106, pp.29-34, Dec. 2006.
- (13) 側高幸治, 松田誠一, 土井 洋, 岡本 健, 小松文子, 岡本栄司, "匿名署名を実現するための Pairing を用いたグループ署

名ライブラリの実装,” DICOMO2007, 2007.

- (14) D. Boneh, X. Boyan, and H. Shacham, “Short group signatures,” Proc. of Crypto2004, Lect. Notes Comput. Sci., vol. 3152, pp.41-55, 2004.
- (15) J.-L. Beuchat, N. Brisebarre, J. Detrey, and E. Okamoto, “Arithmetic operators for pairing-based cryptography,” IACR ePrint Archive, 2007/091, 2007.
- (16) D. Boneh and M. Franklin, “Identity based encryption from the Weil pairing,” Extended Abstract in Proceedings of Crypto ’ 2001, Lect. Notes Comput. Sci., vol. 2139, pp. 213-229, 2001. (SIAM J. Comput., vol. 32, no. 3, pp. 586-615, 2003.)
- (17) D. Boneh, B. Lynn, and H. Shacham, “Short signatures from the Weil pairing,” Extended Abstract in Proceedings of Asiacrypt ’ 01, Lect. Notes Comput. Sci., vol. 2248, pp. 514-532, 2001. (J. Cryptol., vol. 17, no. 4, pp. 297-319, 2004.)
- (18) D. Boneh, C. Gentry and B. Waters, “Collusion resistant broadcast encryption with short ciphertexts and private keys,” CRYPTO 2005, Lect. Notes Comput. Sci., vol. 3621, pp.258-275, 2005.
- (19) T. Okamoto, “On pairing-based cryptosystems,” Proc. of VIETCRYPT2006, Lect. Notes Comput. Sci., vol. 4341, pp.50-66, 2006.



岡本 栄司 (正員：フェロー)

1973 東工大・工・電子卒, 1978 東工大大学院博士課程了. 工博, 同年日本電気入社. その後, 北陸先端大, 東邦大を経て2002より筑波大教授, 現在に至る. 情報セキュリティを中心とする情報数理工学の教育・研究に従事. 1990 本会論文賞, 1993 情報処理学会ベストオーサ賞受賞. 2003 本学会フェロー, 2004 情報処理学会フェロー. 著書「暗号理論入門」(共立出版), 「電子マネー」(岩波書店)など. IEEE, ACM, 情報処理学会各会員, IJIS(International Journal of Information Security) 編集長, IEEE Information Theory Society の Associate Editor.



岡本 健 (正員)

2002 北陸先端大大学院博士課程了. 博士(情報科学). 同年東京電機大・理工・情報科学・助手. その後2003より筑波大・システム情報工学・講師, 現在に至る. 情報セキュリティ, 暗号とその応用に関する研究に従事. 著書に「科学大辞典 第2版」(丸善出版: 分担執筆)「Linuxハンドブック」(オライリージャパン: 共訳)など.



金山 直樹 (正員)

1996 早大・理工・数学卒, 2001 年同大学院博士課程中退. 同年早大・理工・助手. 整数論に関するアルゴリズムとその公開鍵暗号への応用についての研究に従事.

現在, 筑波大研究員, 博士(理学).